

# ارائه یک ساختار جدید از مبدل DC-DC غیر ایزوله با بهره ولتاژ بهبود یافته و تنش ولتاژ پائین کلید به منظور استفاده در انرژی خورشیدی

محمد رضا بنائی<sup>۱</sup>، حسین اژدر فائقی بناب<sup>۲</sup>

تاریخ پذیرش مقاله:

۹۵/۰۴/۰۳

تاریخ دریافت مقاله:

۹۴/۱۱/۱۲

## چکیده:

در این مقاله، یک مبدل dc-dc تک کلیده بدون ترانسفورماتور با بهره ولتاژ بالا و تنش ولتاژ پائین در دو سر کلید قدرت برای کاربرد در انرژی خورشیدی پیشنهاد می‌شود. در این ساختار، تنها یک کلید قدرت به کار رفته است که موجب سادگی طرح کنترلی و نیز کاهش تلفات هدایتی می‌گردد. بهره ولتاژ مبدل پیشنهادی در مقایسه با مبدل‌های افزاینده مرسوم و کاهنده - افزاینده بالاتر است. در این مبدل، تنش ولتاژ دو سر کلید قدرت کمتر از ولتاژ خروجی است. تنش ولتاژ کاهش یافته در دو سر کلید قدرت توانایی انتخاب کلید با تلفات کم را می‌دهد. در این مقاله، بهره ولتاژ، جریان‌های مدار، بازده و ریپل ولتاژ خازن‌ها بررسی شده و نتایج شبیه‌سازی و عملی برای تایید عملکرد مبدل پیشنهادی ارائه شده است.

## کلمات کلیدی:

بدل dc-dc تک کلیده بدون ترانسفورماتور با بهره ولتاژ بالا، افزاینده مرسوم، کلید قدرت، تنش ولتاژ

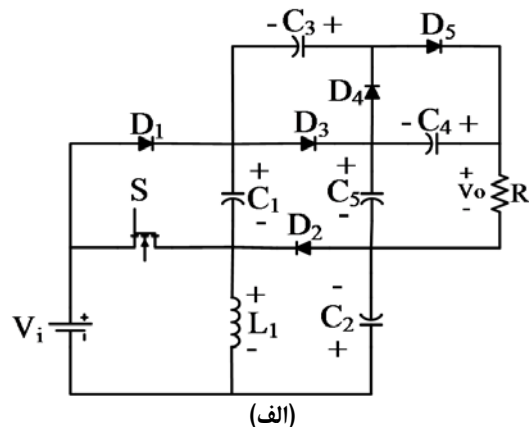
## مقدمه

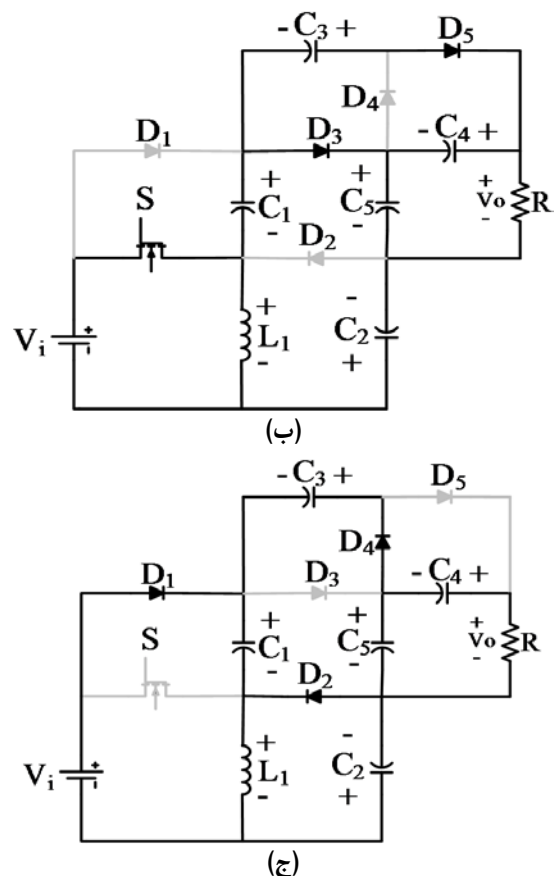
در سال‌های اخیر قیمت سوخت‌های فسیلی هم‌زمان با کاهش منابع افزایش یافته است. از معایب این نوع سوخت‌ها می‌توان به آلودگی محیط زیست اشاره نمود که این عامل موجب استفاده هر چه بیشتر از انرژی‌های تجدید پذیر گردیده است. انرژی‌های تجدید پذیر پاک بوده و به منظور جلوگیری از آلودگی محیط زیست مناسب می‌باشند. انرژی خورشیدی جزو منابع انرژی تجدید پذیر است. برای اتصال پانل‌های خورشیدی به سیستم قدرت نیاز به استفاده از مبدل‌های dc-dc است و به علت پائین بودن سطح ولتاژ سلول‌های خورشیدی باید از مبدل‌های dc-dc با ضریب بهره بالا استفاده کرد [۱,۲]. محققان مبدل‌های بهره بالای زیادی را پیشنهاد داده‌اند که شامل چندین سلف و خازن است [۳]. برای اتصال پانل‌های خورشیدی به سیستم قدرت نیاز به مبدل‌های dc-dc می‌باشد. به علت پائین بودن سطح ولتاژ سلول‌های خورشیدی باید از مبدل‌های dc-dc با ضریب بهره بالا استفاده کرد [۴]. بازده مبدل‌های dc-dc متداول مانند افزاینده مرسوم انتظار می‌رود بالا باشد ولی در حقیقت، بازده موردنظر توسط مقاومت‌های پارازیتی محدود می‌شود. مبدل‌های مختلفی برای جبران اثر مذکور و افزایش بازده پیشنهاد داده شده است [۵-۸]. با افزایش نسبت تبدیل ترانسفورماتور و استفاده از روش بالا بردن ولتاژ می‌توان بهره ولتاژ را افزایش داد [۹-۱۲]. ساختار مبدل فلای‌بک ساده می‌باشد و بهره ولتاژ بالا با افزایش نسبت تبدیل ترانسفورماتور می‌تواند به دست آید ولی انرژی ذخیره شده در سلف نشتی نمی‌تواند بازیابی شود که موجب کاهش بازده و افزایش تنش ولتاژ در دو سر کلید می‌شود [۱۳]. برای حل این مشکل از یک مدار استابر و اکتیو کلمپ استفاده می‌شود که باعث افزایش قیمت مبدل می‌شود. اضافه کردن کلید و دیود مبدل‌ها از یک طرف باعث افزایش هزینه می‌شود اما از طرف دیگر باعث بازیابی انرژی و افزایش بازده مبدل و نیز افزایش بهره مبدل می‌شود [۱۴]. در مرجع [۱۵] یک مبدل dc-dc دو کلیده ایزوله شده با ضریب بهره بالا پیشنهاد داده شده است. در این مبدل از یک ترانسفورماتور با نسبت تبدیل پائین استفاده شده است. برای افزایش بهره ولتاژ دو خازن در زمان خاموش بودن کلیدها به صورت موازی شارژ و در زمان روشن بودن کلیدها به صورت سری دشارژ می‌شوند و با استفاده از مدار کلمپ دیود و خازن انرژی سلف نشتی بازیابی می‌گردد. در مرجع [۱۶] مبدل dc-dc غیر ایزوله با ضریب بهره بالا و با استفاده از ترانسفورماتور برای کاربردهای توان پائین پیشنهاد داده شده است. در این مبدل از ترانسفورماتور برای انتقال انرژی سلف و خازن به منظور ایجاد بهره ولتاژ بالا استفاده شده است. تنش ولتاژ دو سر کلید در مبدل مستقل از ورودی بوده و مقداری ثابتی می‌باشد. در مرجع [۱۷] یک مبدل dc-dc اینترلیو جدید با ضریب بهره بالا پیشنهاد داده شده است. این مبدل دارای ورودی موازی و خروجی سری است و از دو سلف القابی تشکیل شده است. از مزایای این مبدل می‌توان به تنش ولتاژ پائین در دو سر کلید فعال و بهره ولتاژ بالا اشاره نمود که با افزایش نسبت تبدیل ترانسفورماتور به دست می‌آید. در مرجع [۱۸] یک مبدل dc-dc تک کلیده با ضریب بهره بالا و بر پایه مبدل فلای‌بک پیشنهاد داده شده است. ضریب بهره این مبدل دو برابر مبدل فلای‌بک و دارای ساختار ساده است. در مرجع [۱۹] یک مبدل dc-dc با ضریب بهره بالا با استفاده از دو خازن و دو

دیود در سمت ثانویه سلف القایی بهمنظر ایجاد بهره ولتاژ بالا پیشنهاد داده شده است. در این مبدل برای بهدست آوردن بهره ولتاژ بالا، روش شارژ موازی خازن و دشارژ سری آن به کار برده شده است. در مرجع [۲۰] یک مبدل dc-dc دووجهه با تنش ولتاژ پائین در دو سر کلید فعال و با استفاده از سلف القایی پیشنهاد داده شده است. در این مبدل، در حالت افزایندگی، دو خازن به صورت موازی شارژ و به صورت سری دشارژ می‌شوند و در حالت کاهندگی، خازن‌های مذکور به صورت سری شارژ و موازی دشارژ می‌شوند. در مرجع [۲۱] یک مبدل dc-dc تک ورودی چند خروجی با ضربیب افزایندگی بالا پیشنهاد داده شده است. مبدل مذکور قادر است ولتاژ ورودی پائین را به خروجی‌ها با ولتاژ بالا تبدیل کند. در این مبدل تنها یک کلید به کار رفته است و خروجی‌های مبدل ولتاژهای متفاوتی دارند و تنش ولتاژ دو سر کلید مبدل پائین است. در مرجع [۲۲] یک مبدل dc-dc با ضربیب بهره بالا و دارای سه سلف القایی و ساخته شده توسط دو برابر کننده ولتاژ پیشنهاد داده شده است. مبدل مذکور می‌تواند ضربیب بهره بالایی را با چرخه کاری پائین به دست آورد. در این مبدل انرژی سلف نشستی می‌تواند بازیابی گردد که موجب بهبود بازده و جلوگیری از ایجاد تنش ولتاژ بالا در دو سر کلید فعال می‌گردد. در مرجع [۲۳] مبدل dc-dc سه ورودی تک خروجی با ضربیب بهره بالا پیشنهاد داده شده است. در این مبدل سه کلید به کار رفته است. این مبدل می‌تواند ضربیب بهره بالایی را به وسیله هر کدام از ورودی‌ها به دست آورد و تنش ولتاژ دو سر کلیدها در این مبدل پائین است. در این مقاله، یک مبدل dc-dc جدید تک کلیدی با ضربیب بهره بالا به منظور استفاده در انرژی خورشیدی پیشنهاد داده شده است که ضربیب بهره بالاتر از مبدل افزایندگی مرسوم دارد. در مبدل پیشنهادی تنها یک کلید به کار رفته است که موجب سادگی کنترل مبدل می‌گردد. این مبدل تنش ولتاژ پائینی در دو سر کلید و دیودها ایجاد می‌کند.

### مبدل پیشنهادی

مدار قدرت مبدل پیشنهادی در شکل (۱)-الف نشان داده شده است. این مبدل از کلید  $S$ ، سلف  $L_1$ ، پنج خازن  $C_1, C_2, C_3, C_4$  و  $C_5$ ، پنج دیود  $D_1, D_2, D_3, D_4$  و  $D_5$  تشکیل شده است. مبدل در رژیم هدایت پیوسته دارای دو مد کاری است که به ترتیب شرح داده می‌شود.





شکل ۱) (الف) مدار قدرت مبدل پیشنهادی، (ب) مد کاری اول، (ج) مد کاری دوم

### مد کاری اول

در این مد کاری، کلید  $S$  روشن می‌شود. دیودهای  $D_3$  و  $D_5$  روشن و دیودهای  $D_1$ ،  $D_2$  و  $D_4$  خاموش می‌باشند. مدار معادل مبدل در این مد کاری در شکل (۱)-ب نشان داده شده است. ولتاژ دو سر سلف  $L_1$  برابر ولتاژ منبع ورودی است. در این مد کاری سلف  $L_1$  به صورت خطی شارژ می‌شود. خازن  $C_3$  انرژی خود را روی خازن  $C_4$  تخلیه می‌کند و خازن‌های  $C_1$  و  $C_2$  انرژی خود را روی خازن  $C_5$  تخلیه می‌کنند. روابط این مد کاری با برقراری KVL در مدار شکل (۱)-ب به صورت زیر بدست می‌آیند:

$$V_{L1} = V_i \quad (1)$$

$$V_{L1} = V_{C5} - V_{C1} - V_{C2} \quad (2)$$

$$V_{C3} = V_{C4} \quad (3)$$

در روابط فوق، ولتاژ خروجی،  $V_i$  ولتاژ ورودی،  $V_{L1}$  ولتاژ دو سر سلف  $L_1$ ،  $V_{C1}$  ولتاژ دو سر خازن  $C_1$ ،  $V_{C2}$  ولتاژ دو سر خازن  $C_2$ ،  $V_{C3}$  ولتاژ دو سر خازن  $C_3$ ،  $V_{C4}$  ولتاژ دو سر خازن  $C_4$  و  $V_{C5}$  ولتاژ دو سر خازن  $C_5$  است.

## مد کاری دوم

مدار معادل این مد کاری در شکل (۱)-ج نشان داده است. در این مد کاری، کلید  $S$  خاموش می‌شود. دیودهای  $D_3$  و  $D_5$  خاموش و دیودهای  $D_1$ ،  $D_2$  و  $D_4$  روشن می‌باشند. در این مد کاری، سلف  $L_1$  دشارژ می‌شود و انرژی خود را روی خازن‌های  $C_1$  و  $C_2$  تخلیه می‌کند. خازن  $C_5$  دشارژ و خازن  $C_3$  شارژ می‌شود. با اعمال KVL در مدار شکل (۱)-ج خواهیم داشت:

$$V_{L1} = V_i - V_{C1} \quad (4)$$

$$V_{L1} = -V_{C2} \quad (5)$$

$$V_{C5} = V_{C3} + V_{C1} \quad (6)$$

شکل موج‌های کلیدی مریوط به مبدل پیشنهادی در شکل (۲) نشان داده شده است.

## محاسبه ضریب بهره در رژیم هدایت پیوسته

چرخه کاری ( $D$ ) برای مبدل پیشنهادی به صورت زیر تعریف می‌شود:

$$D = \frac{T_{on}}{T} \quad (7)$$

در رابطه فوق  $T_{on}$  مدت زمان روشن بودن کلید  $S$  و  $T$  کل زمان کلیدزنی است. طبق قانون تعادل ولتاژ در حالت دائمی متوسط ولتاژ دو سر یک سلف در یک دوره تناوب برابر صفر است. با اعمال این قانون برای سلف  $L_1$  و با توجه به روابط (۱) و (۶) خواهیم داشت:

$$\int_0^{DT} V_i dt + \int_{DT}^T (V_i - V_{C1}) dt = 0 \quad (8)$$

از رابطه فوق ولتاژ دو سر خازن  $C_1$  ( $V_{C1}$ ) به صورت زیر به دست می‌آید:

$$V_{C1} = \frac{V_i}{1-D} \quad (9)$$

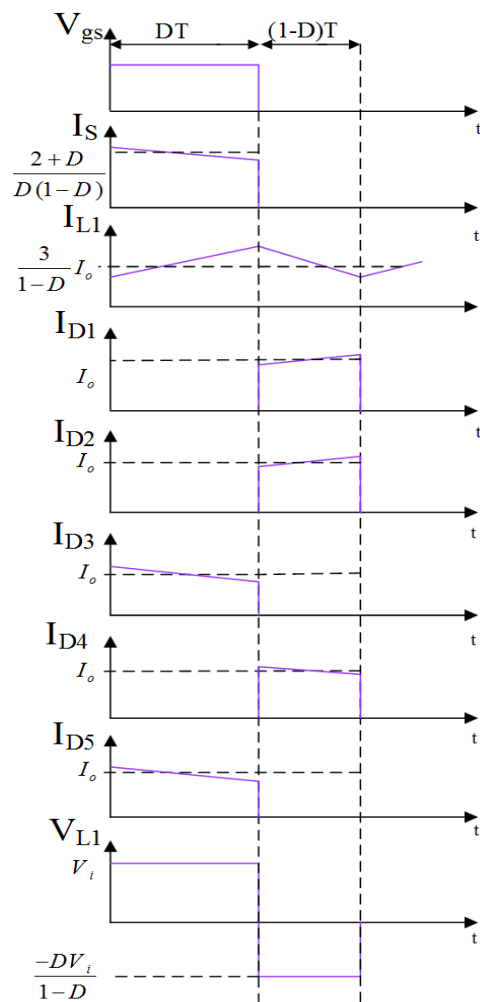
با توجه به رابطه‌های (۱) و (۵) و برقراری قانون تعادل ولتاژ برای سلف  $L_1$  می‌توان نوشت:

$$\int_0^{DT} V_i dt + \int_{DT}^T (-V_{C2}) dt = 0 \quad (10)$$

از رابطه فوق ولتاژ دو سر خازن  $C_2$  به صورت زیر به دست می‌آید:

$$V_{C2} = \frac{DV_i}{1-D} \quad (11)$$

با توجه به روابط (۱)، (۲)، (۹) و (۱۱) ولتاژ دو سر خازن  $C_5$  برابر است با:



شکل ۲) شکل موج‌های کلیدی مبدل پیشنهادی

$$V_{C5} = \frac{2V_i}{1-D} \quad (12)$$

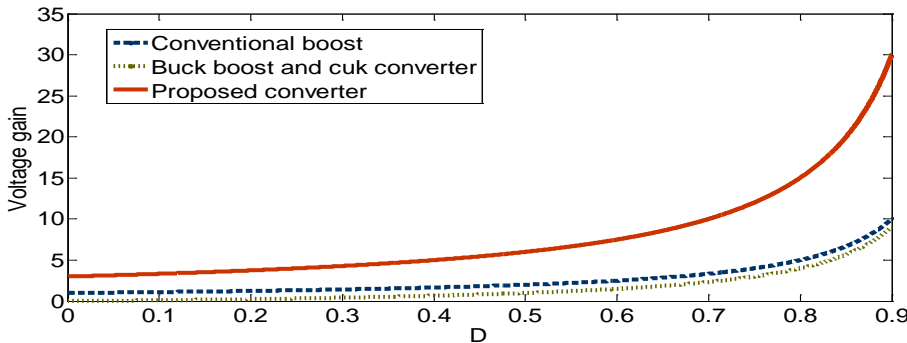
با توجه به روابط (۳)، (۶)، (۹) و (۱۲) ولتاژ دو سر خازن‌های  $C_4$  و  $C_3$  از رابطه زیر به دست می‌آید:

$$V_{C3} = V_{C4} = \frac{V_i}{1-D} \quad (13)$$

با توجه به روابط (۱۲) و (۱۳) ضریب بهره مبدل در رژیم هدایت پیوسته ( $M_{CCM}$ ) از رابطه زیر به دست می‌آید:

$$M_{CCM} = \frac{V_{C4} + V_{C5}}{V_i} = \frac{V_o}{V_i} = \frac{3}{1-D} \quad (14)$$

منحنی بهره ولتاژ حاصل از مبدل‌های افزاینده مرسوم، کاهنده-افزاینده، cuk و مبدل پیشنهادی به ازای چرخه کاری مختلف در شکل (۳) نشان داده شده است. مقایسه نمودار بهره ولتاژ نشان می‌دهد که بیشترین مقدار بهره ولتاژ در مبدل پیشنهادی ایجاد شده است.



شکل (۳) منحنی بهره ولتاژ مبدل‌های dc-dc به ازای مقادیر مختلف از چرخه کاری

#### محاسبه جریان‌های عبوری از عناصر مبدل

جریان عبوری از خازن  $C_4$  در مد کاری دوم با توجه به شکل (۱)-ج برابر است با:

$$I_{C4,off} = -I_o \quad (15)$$

در رابطه فوق،  $I_{C4,off}$  جریان عبوری از خازن  $C_4$  در مد کاری دوم است.

طبق قانون تعادل جریان در حالت دائمی متوسط جریان عبوری از یک خازن در یک دوره تناوب برابر صفر است. با اعمال این قانون برای خازن  $C_4$  خواهیم داشت:

$$\int_0^{DT} I_{C4,on} dt + \int_{DT}^T I_{C4,off} dt = 0 \quad (16)$$

در رابطه فوق،  $I_{C4,on}$  جریان عبوری از خازن  $C_4$  در مد کاری اول است.

با توجه به شکل (۱)-ب و رابطه (۱۶)، جریان عبوری از خازن  $C_3$  در مد کاری اول  $(I_{C3,on})$  از رابطه زیر به دست می‌آید:

$$I_{C3,on} = -I_{C4,on} - I_o = -\frac{I_o}{D} \quad (17)$$

با توجه به شکل (۱)-ج، جریان عبوری از خازن  $C_5$  در مد کاری دوم  $(I_{C5,off})$  از رابطه زیر به دست می‌آید:

$$I_{C5,off} = I_{C4,off} - I_{C3,off} = -\frac{2-D}{1-D} I_o \quad (18)$$

در رابطه فوق،  $I_{C3,off}$  جریان عبوری از خازن  $C_3$  در مد کاری دوم است.

با توجه به شکل (۱)-ب، جریان عبوری از خازن  $C_2$  در مد کاری اول  $(I_{C2,on})$  از رابطه زیر به دست می‌آید:

$$I_{C2,on} = -I_{C5,on} - I_o = -\frac{2}{D} I_o \quad (19)$$

در رابطه فوق،  $I_{C5,on}$  جریان‌های عبوری از خازن  $C_5$  در مد کاری اول است.

با توجه به شکل (۱)-ب، جریان عبوری از خازن  $C_1$  در مد کاری اول به صورت زیر است:

$$I_{C1,on} = I_{C3,on} + I_{C4,on} - I_{C5,on} = -\frac{2}{D} I_o \quad (20)$$

در رابطه فوق،  $I_{C1,on}$  جریان عبوری از خازن  $C_1$  در مد کاری اول است.

جریان عبوری از سلف  $L_1$  با توجه به شکل (۱)-ج از رابطه زیر به دست می‌آید:

$$I_{L1} = I_{C2,off} + I_{C1,off} + I_{C5,off} + I_o = \frac{3}{1-D} I_o \quad (21)$$

در رابطه فوق،  $I_{C2,off}$  و  $I_{C1,off}$  جریان‌های عبوری از خازن‌های  $C_2$  و  $C_1$  در مد کاری دوم است.

جریان‌های عبوری از دیودهای  $(I_{D5}, I_{D4}, I_{D3}, I_{D2}, I_{D1})$  از روابط زیر قابل محاسبه هستند:

$$I_{D1} = I_{C1,off} - I_{C3,off} = \frac{I_o}{1-D} \quad (22)$$

$$I_{D2} = I_{C5,off} + I_{C2,off} + I_o = \frac{I_o}{1-D} \quad (23)$$

$$I_{D3} = I_{C5,off} - I_{C4,off} = \frac{I_o}{D} \quad (24)$$

$$I_{D4} = I_{C3,off} = \frac{I_o}{1-D} \quad (25)$$

$$I_{D5} = I_{C4,on} + I_o = \frac{I_o}{D} \quad (26)$$

جریان عبوری از کلید  $S$  از رابطه زیر به دست می‌آید:

$$I_s = I_{L1} - I_{C1,on} = \frac{1+2D}{D(1-D)} I_o \quad (27)$$

مقدار متوسط جریان ورودی از رابطه زیر قابل محاسبه است:

$$I_i = \int_0^{DT} (I_{L1} - I_{C1,on}) dt + \int_{DT}^T (I_{C1,off} - I_{C3,off}) dt = \frac{3}{1-D} I_o \quad (28)$$

در رابطه فوق،  $I_i$  متوسط جریان ورودی و  $I_o$  متوسط جریان خروجی است.

معادلات جریان سلف  $L_1$  در بازه زمانی  $0 \leq t < DT$  با توجه به شکل (۱) به صورت زیر است:

$$I_{L1}(t) = \frac{1}{L_1} \int_0^{DT} V_i dt + I_{L1}(0) \quad (29)$$

در روابط فوق،  $I_{L1}(0)$  مقدار اولیه جریان عبوری از سلف  $L_1$  است.

اندازه ریپل جریان عبوری از سلف  $L_1$  با توجه به رابطه فوق به صورت زیر قابل محاسبه است:

$$\Delta I_{L1} = \frac{DV_i}{L_1 f_s} = \frac{D(1-D)V_o}{3L_1 f_s} \quad (30)$$

در روابط فوق،  $\Delta I_{L1}$  اندازه ریپل جریان سلف  $L_1$  و  $f_s$  فرکانس کلیدزنی است.

بیشترین مقدار اندازه ریپل جریان سلف  $L_1$  به صورت زیر به دست می‌آید:

$$\Delta I_{L1,\max} = \frac{D_{\min} V_{i,\max}}{L f_s} = \frac{D_{\min} (1 - D_{\min}) V_o}{3 L f_s} \quad (31)$$

در رابطه فوق،  $\Delta I_{L1,\max}$  بیشترین مقدار اندازه ریپل جریان سلف  $L_1$  است.

### رژیم هدایت ناپیوسته

مدهای کاری اول و دوم رژیم هدایت ناپیوسته مدهای کاری اول و دوم رژیم هدایت پیوسته می‌باشند. در مد کاری سوم رژیم هدایت ناپیوسته کلید و دیودها خاموش می‌شوند. مدار معادل مد کاری سوم در شکل (۴) نشان داده شده است. در این مد کاری، جریان عبوری از سلف صفر می‌شود و جریان عبوری از دیودها نیز به مقدار صفر می‌رسد. جریان‌های عبوری از دیودهای  $D_1$ ,  $D_2$  و  $D_4$  در مد کاری دوم رژیم هدایت ناپیوسته ( $I_{D1}$ ,  $I_{D2}$  و  $I_{D4}$ ) از روابط زیر به دست می‌آیند:

$$I_{D1} = I_{C1,off} - I_{C3,off} \quad (32)$$

$$I_{D2} = I_{L1} - I_{C1,off} \quad (33)$$

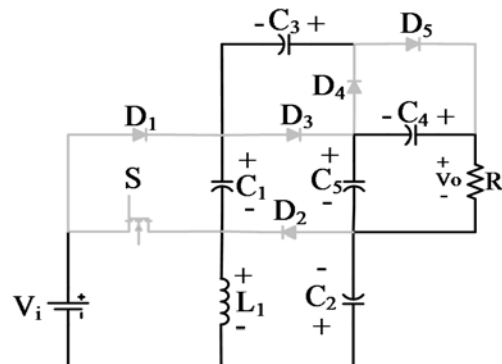
$$I_{D4} = I_{C3,off} \quad (34)$$

با توجه به روابط فوق می‌توان نوشت:

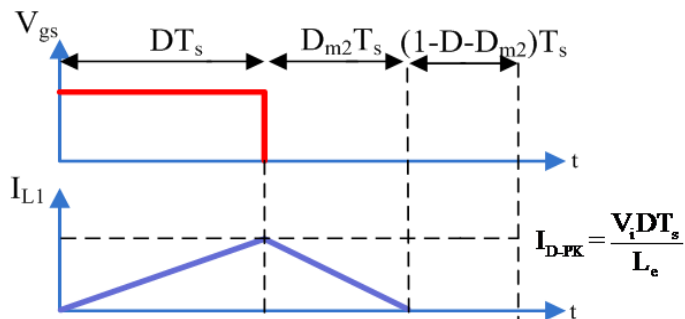
$$I_{D1} + I_{D2} + I_{D3} = I_{L1} \quad (35)$$

متوسط جریان عبوری از دیودهای  $D_1$ ,  $D_2$  و  $D_4$  در حالت پایدار و با توجه به شکل (۱)-ج و روابط (۳۲)، (۳۳) و (۳۴) برابر جریان خروجی است به عبارت دیگر:

$$I_{D1,av} = I_{D2,av} = I_{D4,av} = \frac{V_o}{R} \quad (36)$$



شکل (۴) مدار معادل مبدل پیشتهادی در مد کاری سوم در رژیم هدایت ناپیوسته



شکل ۵) شکل موج مبدل پیشنهادی در رژیم هدایت ناپیوسته

با اعمال قانون تعادل ولتاژ برای سلف  $L_1$  چرخه کاری در مرکز کاری دوم رژیم هدایت ناپیوسته زیر به دست می‌آید:

$$D_{m2} = \frac{3DV_i}{V_o - V_i} \quad (37)$$

با توجه به شکل (۵) می‌توان نوشت:

$$I_{D1,av} + I_{D2,av} + I_{D4,av} = \frac{1}{2} \times D_m \times I_{D-PK} \quad (38)$$

در رابطه فوق مجموع پیک جریان دیودهای  $D_1$ ،  $D_2$  و  $D_4$  برابر است با:

$$I_{D-PK} = \frac{V_i D T}{L_1} \quad (39)$$

بهره ولتاژ در رژیم هدایت ناپیوسته  $(M_{DCM})$  با توجه به روابط (۳۶) تا (۳۹) برابر است با:

$$M_{DCM} = \frac{3 + \sqrt{9 + \frac{4D^2}{\tau}}}{2} \quad (40)$$

در رابطه فوق،  $\tau$  به صورت زیر به دست می‌آید:

$$\tau = \frac{2L_1}{RT} \quad (41)$$

مقادیر نامی نرمالیزه شده ولتاژ و جریان عناصر مبدل پیشنهادی در جدول (۱) نشان داده شده است.

جدول ۱) مقادیر نامی نرمالیزه شده ولتاژ و جریان عناصر مبدل بیشنهادی

متغیر	مقدار موثر نرمالیزه شده جریان عبوری	حداکثر ولتاژ نرمالیزه شده
کلید	$\frac{\sqrt{M_{CCM} - 2}}{\sqrt{M_{CCM} (M_{CCM} - 3)}}$	$\frac{1}{3}$
خازن‌های $C_2$ و $C_1$	$\frac{2}{\sqrt{3(M_{CCM} - 3)}}$	$\frac{9}{M_{CCM} - 3}$
خازن $C_3$	$\frac{1}{\sqrt{3(M_{CCM} - 3)}}$	$\frac{1}{3}$
خازن $C_4$	$\frac{\sqrt{3}}{M_{CCM} \sqrt{(M_{CCM} - 3)}}$	$\frac{1}{3}$
خازن $C_5$	$\frac{M_{CCM} + 3}{M_{CCM} \sqrt{3(M_{CCM} - 3)}}$	$\frac{2}{3}$
سلف $L_1$	$\frac{1}{M_{CCM}}$	-
دیودهای $D_4$ و $D_2$ ، $D_1$	$\frac{1}{\sqrt{3M_{CCM}}}$	$\frac{1}{3}$
دیودهای $D_5$ و $D_3$	$\frac{1}{\sqrt{M_{CCM} (M_{CCM} - 3)}}$	$\frac{1}{3}$

## محاسبه بازده مبدل

بازده مبدل با محاسبه تلفات عناصر مبدل به دست می‌آید. تلفات المان‌ها با در نظر گرفتن مقاومت‌های پارازیتی محاسبه می‌گردد.  $r_{DS}$  مقاومت هدایتی کلید  $S$  است.  $R_{F5}$ ،  $R_{F4}$ ،  $R_{F3}$ ،  $R_{F2}$ ،  $R_{F1}$  مقاومت حالت روشن و  $D_2$ ،  $D_1$ ،  $V_{F5}$ ،  $V_{F4}$ ،  $V_{F3}$ ،  $V_{F2}$ ،  $V_{F1}$ ،  $D_5$  و  $D_4$ ،  $D_3$  و  $D_2$ ،  $D_1$  دیودهای آستانه دیودهای و لتاژ آستانه دیودهای

و  $C_4, C_3, C_2, C_1, D_5, D_4, D_3$  و  $r_{C_4}, r_{C_3}, r_{C_2}, r_{C_1}$  مقاومت‌های سری معادل خازن‌های  $L_1$  است. تلفات هدایتی با محاسبه مقدار موثر جریان عبوری از کلید به دست  $R_{L1}, C_5$  می‌آید.

مقدار موثر جریان عبوری از کلید  $(I_{S,mms})$  از رابطه زیر به دست می‌آید:

$$\begin{aligned} I_{S,mms} &= \sqrt{\frac{1}{T} \int_0^{DT} (I_{L1} - I_{C1,on})^2 dt} \\ &= \sqrt{\frac{1}{T} \int_0^{DT} \left( \frac{1+2D}{D(1-D)} I_o \right)^2 dt} = \frac{1+2D}{\sqrt{D(1-D)}} I_o \end{aligned} \quad (42)$$

تلفات هدایتی کلید  $S$  برابر است با:

$$P_{rDS} = r_{DS} I_{S,mms}^2 = r_{DS} \frac{(1+2D)^2}{D(1-D)^2} I_o^2 \quad (43)$$

تلفات کلیدزنی کلید  $S$  از رابطه زیر به دست می‌آید:

$$P_{Sw} = f_s C_S V_S^2 = f_s C_S \left( \frac{V_i}{1-D} \right)^2 \quad (44)$$

در رابطه فوق،  $C_S$  خازن خروجی کلید  $S$  و  $V_S$  ولتاژ دو سر کلید  $S$  در زمان خاموش بودن آن است.

رابطه (44) به صورت زیر بازنویسی می‌گردد:

$$P_S = f_s C_S \left( \frac{V_o}{3} \right)^2 \quad (45)$$

با توجه به روابط (43) و (45)، تلفات کل کلید  $(P_{Switch})$  از رابطه زیر به دست می‌آید:

$$P_{Switch} = P_{rDS} + \frac{P_{Sw}}{2} \quad (46)$$

مقدار موثر جریان‌های عبوری از دیودهای  $D_4, D_2, D_1$  و با توجه به روابط مذکور برابر است با:

$$I_{D1,mms} = I_{D2,mms} = I_{D4,mms} = \sqrt{\frac{1}{T} \int_{DT}^T \left( \frac{I_o}{1-D} \right)^2 dt} = \frac{I_o}{\sqrt{1-D}} \quad (47)$$

تلفات مقاومت حالت روشن دیود  $(P_{RF})_{D_1}$  به صورت زیر محاسبه می‌شود:

$$(P_{RF})_{D_1} = R_{F1} I_{D1,mms}^2 = R_{F1} \frac{I_o^2}{1-D} \quad (48)$$

تلفات مقاومت حالت روشن دیود  $(P_{RF})_{D_2}$  به این صورت محاسبه می‌شود:

$$(P_{RF})_{D_2} = R_{F2} I_{D2,mms}^2 = R_{F2} \frac{I_o^2}{1-D} \quad (49)$$

تلفات مقاومت حالت روشن دیود  $(P_{RF})_{D_4}$  به صورت زیر محاسبه می‌شود:

$$(P_{RF})_{D_4} = R_{F4} I_{D4,mms}^2 = R_{F4} \frac{I_o^2}{1-D} \quad (50)$$

مقدار متوسط جریان‌های عبوری از دیودهای  $D_1$ ,  $D_2$ ,  $D_4$  برابر است با:

$$I_{D1,av} = I_{D2,av} = I_{D4,av} = \frac{1}{T} \int_{DT}^T \left( \frac{I_o}{1-D} \right) dt = I_o \quad (51)$$

تلفات ولتاژ حالت روشن دیود  $(P_{VF})_{D_1}$  از رابطه زیر به دست می‌آید:

$$(P_{VF})_{D_1} = V_{F1} I_{D1,av} = V_{F1} I_o \quad (52)$$

تلفات ولتاژ حالت روشن دیود  $(P_{VF})_{D_2}$  از رابطه زیر به دست می‌آید:

$$(P_{VF})_{D_2} = V_{F2} I_{D2,av} = V_{F2} I_o \quad (53)$$

تلفات ولتاژ حالت روشن دیود  $(P_{VF})_{D_4}$  از رابطه زیر به دست می‌آید:

$$(P_{VF})_{D_4} = V_{F4} I_{D4,av} = V_{F4} I_o \quad (54)$$

مقدار موثر جریان‌های عبوری از دیودهای  $D_3$  و  $D_5$  با توجه به روابط برابر است با:

$$I_{D3,mms} = I_{D5,mms} = \sqrt{\frac{1}{T} \int_0^{DT} \left( \frac{I_o}{D} \right)^2 dt} = \frac{1}{\sqrt{D}} I_o \quad (55)$$

تلفات مقاومت حالت روشن دیود  $(P_{RF})_{D_3}$  به این صورت محاسبه می‌شود:

$$(P_{RF})_{D_3} = R_{F3} I_{D3,mms}^2 = R_{F3} \frac{1}{D} I_o^2 \quad (56)$$

تلفات مقاومت حالت روشن دیود  $(P_{RF})_{D5}$  به این صورت محاسبه می‌شود

$$(P_{RF})_{D5} = R_{F5} I_{D5,ms}^2 = R_{F5} \frac{1}{D} I_o^2 \quad (57)$$

مقدار متوسط جریان عبوری از دیودهای  $D_5$  و  $D_3$  برابر است با:

$$I_{D3,av} = I_{D5,av} = \frac{1}{T} \int_0^{DT} \left( \frac{I_o}{D} \right) dt = I_o \quad (58)$$

تلفات ولتاژ حالت روشن دیود  $(P_{VF})_{D3}$  از رابطه زیر به دست می‌آید:

$$(P_{VF})_{D3} = V_{F3} I_{D3,av} = V_{F3} I_o \quad (59)$$

تلفات ولتاژ حالت روشن دیود  $(P_{VF})_{D5}$  از رابطه زیر به دست می‌آید:

$$(P_{VF})_{D5} = V_{F5} I_{D5,av} = V_{F5} I_o \quad (60)$$

مقدار موثر جریان عبوری از خازن‌های  $C_2$  و  $C_1$  از رابطه زیر به دست می‌آید:

$$I_{C1,ms} = I_{C2,ms} = \sqrt{\frac{1}{T} \left[ \int_0^{DT} \left( \frac{2}{D} I_o \right)^2 dt + \int_{DT}^T \left( \frac{D}{1-D} \times \frac{2}{D} I_o \right)^2 dt \right]} = 2 \sqrt{\frac{1}{D(1-D)}} I_o \quad (61)$$

تلفات مقاومت سری معادل خازن  $C_1$  برابر است با:

$$P_{RC1} = r_{C1} I_{C1,ms}^2 = r_{C1} \frac{4}{D(1-D)} I_o^2 \quad (62)$$

تلفات مقاومت سری معادل خازن  $C_2$  برابر است با:

$$P_{RC2} = r_{C2} I_{C2,ms}^2 = r_{C2} \frac{4}{D(1-D)} I_o^2 \quad (63)$$

مقدار موثر جریان عبوری از خازن‌های  $C_3$  از رابطه زیر به دست می‌آید:

$$I_{C3,ms} = \sqrt{\frac{1}{T} \left[ \int_0^{DT} \left( \frac{1}{D} I_o \right)^2 dt + \int_{DT}^T \left( \frac{D}{1-D} \times \frac{1}{D} I_o \right)^2 dt \right]} = \sqrt{\frac{1}{D(1-D)}} I_o \quad (64)$$

تلفات مقاومت سری معادل خازن  $C_3$  برابر است با:

$$P_{RC3} = r_{C3} I_{C3,mss}^2 = r_{C3} \frac{1}{D(1-D)} I_o^2 \quad (65)$$

مقدار موثر جریان عبوری از خازن  $C_4$  از رابطه زیر به دست می آید:

$$I_{C4,mss} = \sqrt{\frac{1}{T} \left[ \int_0^{DT} \left( \frac{1-D}{D} I_o \right)^2 dt + \int_{DT}^T I_o^2 dt \right]} = \sqrt{\frac{1-D}{D}} I_o \quad (66)$$

تلفات مقاومت سری معادل خازن  $C_4$  برابر است با:

$$P_{RC4} = r_{C4} I_{C4,mss}^2 = r_{C4} \frac{1-D}{D} I_o^2 \quad (67)$$

مقدار موثر جریان عبوری از خازن  $C_5$  از رابطه زیر به دست می آید:

$$I_{C5,mss} = \sqrt{\frac{1}{T} \left[ \int_0^{DT} \left( \frac{1-D}{D} \times \frac{2-D}{1-D} I_o \right)^2 dt + \int_{DT}^T \left( \frac{2-D}{1-D} I_o \right)^2 dt \right]} = \frac{2-D}{\sqrt{D(1-D)}} I_o \quad (68)$$

تلفات مقاومت سری معادل خازن  $C_5$  برابر است با:

$$P_{RC5} = r_{C5} I_{C5,mss}^2 = r_{C5} \frac{(2-D)^2}{D(1-D)} I_o^2 \quad (69)$$

مقدار موثر جریان عبوری از سلف  $L_1$  برابر است با:

$$I_{L1,mss} = \frac{3}{1-D} I_o \quad (70)$$

تلفات مقاومت سری معادل سلف  $L_1$  از رابطه زیر به دست می آید:

$$P_{nL1} = R_{L1} I_{L1,mss}^2 = R_{L1} \left( \frac{3}{1-D} \right)^2 I_o^2 \quad (71)$$

تلفات کل مبدل ( $P_{loss}$ ) برابر مجموع تلفات عناصر مبدل است به عبارت دیگر:

$$P_{loss} = P_{Switch} + \sum_{u=1}^5 (P_{RF})_{Du} + \sum_{u=1}^5 (P_{VF})_{Du} + \sum_{u=1}^5 P_{RCu} + P_{nL1} \quad (72)$$

بازده مبدل ( $\eta$ ) از رابطه زیر به دست می آید:

$$\eta = \frac{P_o}{P_o + P_{loss}} = \frac{1}{1 + \frac{P_{loss}}{P_o}} \quad (73)$$

بازده مبدل با توجه به رابطه (۷۳) به صورت زیر تعریف می‌شود:

$$\eta = \frac{P_o}{P_i} = \frac{V_o I_o}{V_i I_i} \quad (74)$$

در رابطه فوق  $P_i$  توان ورودی مبدل پیشنهادی است. با توجه به رابطه (۷۴)، بازده به صورت زیر بازنویسی می‌شود:

$$\eta = \frac{1-D}{3} M_{CCM} \quad (75)$$

بهره ولتاژ مبدل پیشنهادی با در نظر گرفتن مقاومت‌های پارازیتی و با توجه به رابطه (۷۵) به صورت زیر به دست می‌آید:

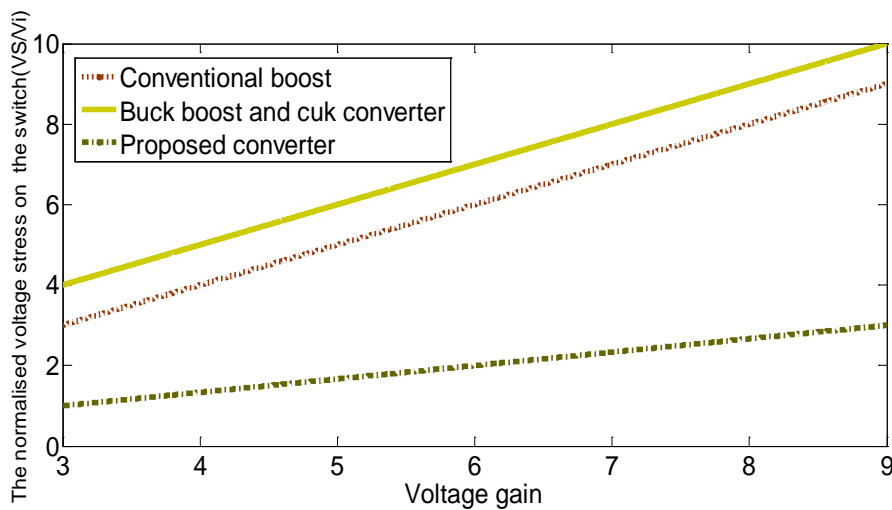
$$M_{CCM} = \frac{3\eta}{1-D} \quad (76)$$

تنش ولتاژ دو سر کلید  $S$  از رابطه زیر به دست می‌آید:

$$V_s = \frac{V_i}{1-D} \quad (77)$$

در رابطه فوق،  $V_s$  تنش ولتاژ دو سر کلید  $S$  است.

با توجه به رابطه فوق، تنش ولتاژ دو سر کلید  $S$  کمتر از ولتاژ خروجی مبدل است و تلفات هدایتی کلید پائین است. منحنی تنش ولتاژ نرمالیزه دو سر کلید حاصل از مبدل‌های افزاینده مرسوم، کاهنده-افزاینده، cuk و مبدل پیشنهادی به ازای بهره ولتاژ مختلف در شکل (۶) نشان داده شده است. مقایسه نمودار تنش ولتاژ نرمالیزه دو سر کلید نشان می‌دهد که کمترین مقدار تنش ولتاژ دو سر کلید در مبدل پیشنهادی ایجاد شده است.



شکل ۶) منحنی تنش ولتاژ نرمالیزه دو سر کلید به ازای بهره ولتاژ مختلف

### رژیم هدایت مرزی

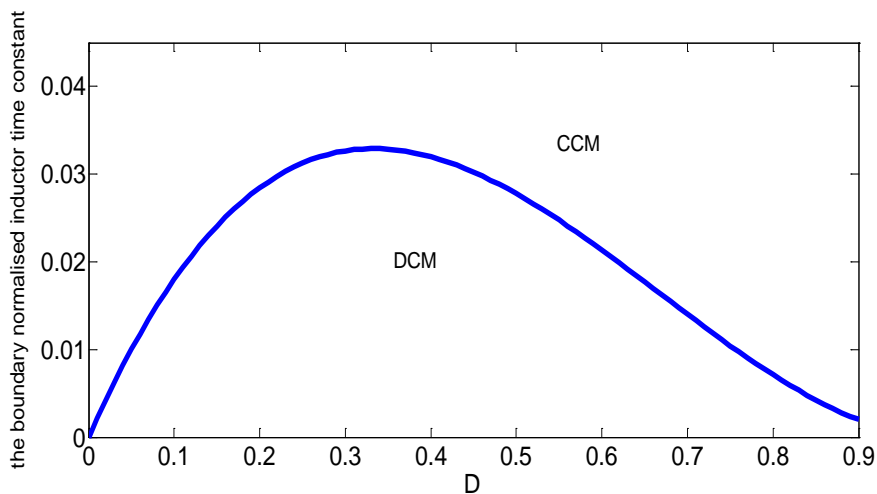
در این رژیم، هدایت بفره ولتاژ رژیم هدایت پیوسته برابر بفره رژیم هدایت ناپیوسته است. با برقراری این شرط ثابت زمانی نرمالیزه از رابطه زیر به دست می‌آید:

$$\tau_b = \frac{2D(1-D)^2}{9} \quad (78)$$

در رابطه فوق،  $\tau_b$  ثابت زمانی نرمالیزه است.

با توجه به رابطه فوق اگر  $\tau$  بزرگ‌تر از  $\tau_b$  باشد مبدل در رژیم هدایت پیوسته کار خواهد کرد.

منحنی ثابت زمانی نرمالیزه حاصل از مبدل پیشنهادی به ازای چرخه کاری مختلف در شکل (۷) نشان داده شده است. مقایسه نمودار ثابت زمانی نرمالیزه نشان می‌دهد که مبدل پیشنهادی در ناحیه وسیعی در رژیم هدایت پیوسته کار می‌کند.



شکل ۷) منحنی ثابت زمانی نرمالیزه حاصل از مبدل پیشنهادی

### محاسبه اندازه ریپل ولتاژ خازن‌ها

مطابق روابط (۱۹) و (۲۰) جریان‌های عبوری از خازن‌های  $C_1$  و  $C_2$  برابر است. مقدار خازن‌های  $C_1$  و  $C_2$  برابر  $C$  نشان داده شده است. مقاومت سری معادل خازن‌های  $C_1$  و  $C_2$  برابر است و در نتیجه، اندازه ریپل خازن‌های  $C_1$  و  $C_2$  برابر است. طبق شکل (۸) اندازه ریپل ولتاژ خازن‌های  $C_1$  و  $C_2$  با  $\Delta V_C$  نشان داده شده است.  $\Delta V_{C,ESR}$  برابر اندازه ریپل ولتاژ خازن‌های  $C_1$  و  $C_2$  است که از عبور جریان از مقاومت معادل سری خازن‌های  $C_1$  و  $C_2$  ایجاد شده است.  $\Delta V_{C,cap}$  اندازه ریپل ولتاژ خازن‌های  $C_1$  و  $C_2$  است که براساس شارژ و دشارژ خازن ایجاد شده

است. اندازه ریپل ولتاژ خازن‌های  $C_1$  و  $C_2$  از رابطه زیر به دست می‌آید:

$$\Delta V_C = \Delta V_{C,ESR} + \Delta V_{C,cap} \quad (79)$$

از رابطه زیر به دست می‌آید:  $\Delta V_{C,ESR}$

$$\Delta V_{C,ESR} = ESR_C \Delta I_C \square ESR_C (I_{C,off} - I_{C,on}) = \frac{ESR_C 2I_o}{D(1-D)} \quad (80)$$

در رابطه فوق،  $I_{C,on}$  جریان عبوری از خازن‌های  $C_1$  و  $C_2$  در مد کاری اول و  $I_{C,off}$  جریان‌های عبوری از خازن‌های  $C_1$  و  $C_2$  در مد کاری دوم است.

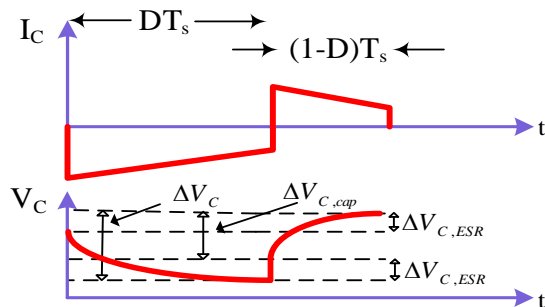
در رابطه فوق،  $ESR_C$  به صورت زیر تعریف می‌شود:

$$ESR_C = \frac{\tan \delta_C}{2\pi f} \quad (81)$$

در رابطه فوق،  $\tan \delta_C$  ضریب تلفات خازن‌های  $C_1$  و  $C_2$  است.

به صورت زیر به دست می‌آید:  $\Delta V_{C,cap}$

$$\Delta V_{C,cap} = \frac{I_{C,off} (1-D)T}{C} = \frac{2TV_o}{RC} \quad (82)$$



شکل ۸) شکل موج‌های جریان و ولتاژ خازن  $C_2$  و  $C_1$

مطابق شکل (۹) اندازه ریپل ولتاژ خازن با  $\Delta V_{C3,ESR}$  نشان داده شده است. برابر اندازه ریپل ولتاژ خازن  $C_3$  است که از عبور جریان از مقاومت معادل سری خازن  $C_3$  ایجاد شده است.  $\Delta V_{C3,cap}$  برابر اندازه ریپل ولتاژ خازن  $C_3$  است که براساس شارژ و دشارژ خازن  $C_3$  ایجاد شده است. اندازه ریپل ولتاژ خازن  $C_3$  از رابطه زیر به دست می‌آید:

$$\Delta V_{C3} = \Delta V_{C3,ESR} + \Delta V_{C3,cap} \quad (83)$$

از رابطه زیر به دست می‌آید:

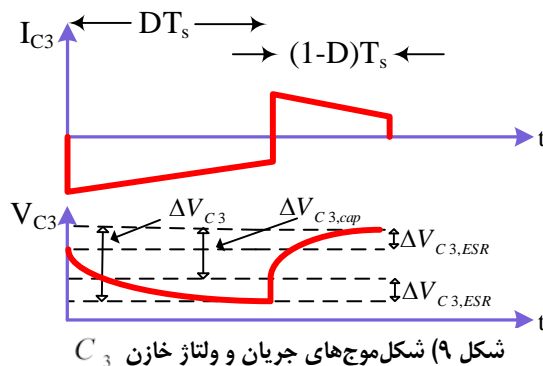
$$\Delta V_{C3,ESR} = ESR_{C3} \Delta I_{C3} \square ESR_{C3} (I_{C3,off} - I_{C3,on}) = \frac{ESR_{C3} I_o}{D(1-D)} \quad (84)$$

در رابطه فوق  $ESR_{C3}$  به صورت زیر است.

$$ESR_{C3} = \frac{\tan \delta_{C3}}{2\pi f_s} \quad (85)$$

در رابطه فوق  $\tan \delta_{C3}$  ضریب تلفات خازن  $C_3$  است.  $\Delta V_{C3,cap}$  به صورت زیر حاصل می‌گردد.

$$\Delta V_{C3,cap} = \frac{I_{C3,off} (1-D)T}{C_3} = \frac{TV_o}{RC_3} \quad (86)$$



شکل ۹) شکل موج‌های جریان و ولتاژ خازن  $C_3$

طبق شکل (۱۰) اندازه ریپل ولتاژ خازن  $C_4$  با  $\Delta V_{C4,ESR}$  نشان داده شده است. برابر اندازه ریپل ولتاژ خازن  $C_4$  است که از عبور جریان از مقاومت معادل سری خازن  $C_4$  ایجاد شده است. اندازه ریپل ولتاژ خازن  $C_4$  است که براساس شارژ و دشارژ ایجاد شده است. اندازه ریپل ولتاژ خازن  $C_4$  از رابطه زیر به دست می‌آید:

$$\Delta V_{C4} = \Delta V_{C4,ESR} + \Delta V_{C4,cap} \quad (87)$$

از رابطه زیر به دست می‌آید:

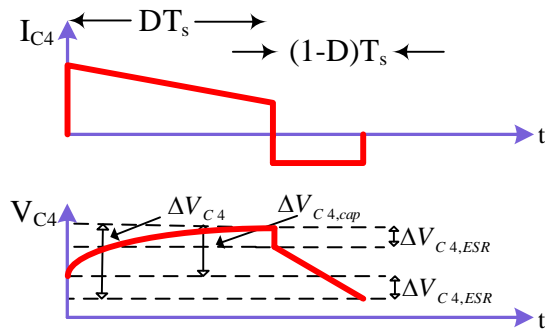
$$\Delta V_{C4,ESR} = ESR_{C4} \Delta I_{C4} \square ESR_{C4} (I_{C4,on} - I_{C4,off}) = \frac{ESR_{C4} I_o}{D} \quad (88)$$

در رابطه فوق،  $ESR_{C4}$  به صورت زیر تعریف می‌شود:

$$ESR_{C4} = \frac{\tan \delta_{C4}}{2\pi f_s} \quad (89)$$

در رابطه فوق، ضریب تلفات خازن  $C_4$  است  $\tan \delta_{C4}$  به صورت زیر به دست می‌آید:

$$\Delta V_{C4,cap} = \frac{I_{C4,on} DT}{C_4} = \frac{(1-D)TV_o}{RC_4} \quad (90)$$



شکل ۱۰) شکل موج‌های جریان و ولتاژ خازن  $C_4$

براساس شکل (۱۱)، اندازه ریپل ولتاژ خازن  $C_5$  با  $\Delta V_{C5,ESR}$  نشان داده شده است. برابر اندازه ریپل ولتاژ خازن  $C_5$  است که از عبور جریان از مقاومت معادل سری خازن  $C_5$  ایجاد شده است. اندازه ریپل ولتاژ خازن  $C_5$  است که براساس شارژ و دشارژ خازن ایجاد شده است. اندازه ریپل ولتاژ خازن  $C_5$  از رابطه زیر به دست می‌آید:

$$\Delta V_{C5} = \Delta V_{C5,ESR} + \Delta V_{C5,cap} \quad (91)$$

از رابطه زیر به دست می‌آید:

$$\Delta V_{C5,ESR} = ESR_{C5} \Delta I_{C5} \square ESR_{C5} (I_{C5,on} - I_{C5,off}) = \frac{ESR_{C5} I_o (2-D)}{D(1-D)} \quad (92)$$

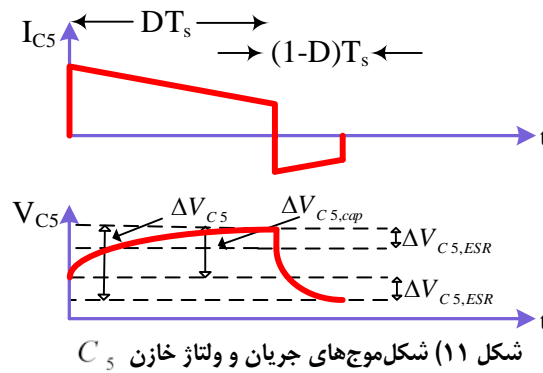
در رابطه فوق  $ESR_{C5}$  به صورت زیر تعریف می‌شود:

$$ESR_{C5} = \frac{\tan \delta_{C5}}{2\pi f} \quad (93)$$

در رابطه فوق  $\tan \delta_{C5}$  ضریب تلفات خازن  $C_5$  است.

به صورت زیر به دست می‌آید:

$$\Delta V_{C5,cap} = \frac{I_{C5,on} DT}{C_5} = \frac{(2-D)TV_o}{RC_5} \quad (94)$$



### نتایج شبیه‌سازی و عملی

برای بررسی صحت عملکرد مبدل پیشنهادی، نتایج شبیه‌سازی در محیط نرم‌افزار PSCAD ارائه شده است. مقادیر پارامترهای شبیه‌سازی در جدول (۲) آورده شده است. شکل موج پالس اعمالی به کلید در شکل (۱۲)-الف نشان داده شده است. با توجه به رابطه (۱۴) و جدول (۲)، بهره ولتاژ شش است و سطح ولتاژ خروجی برابر ۶۰ ولت است. شکل موج ولتاژ خروجی  $V_o$  در شکل (۱۲)-ب نشان داده شده است. جریان عبوری از سلف  $L_1$  در شکل (۱۲)-ج نشان داده شده است. با توجه به شکل موج سلف  $L_1$  مبدل در رژیم هدایت پیوسته کار می‌کند. مقدار متوسط جریان عبوری از سلف  $L_1$ ، با توجه به رابطه (۲۱) و استفاده از مقادیر جدول (۲) برابر است با:

$$I_{L1} = \frac{3}{1-D} I_o = \frac{3}{1-D} \frac{P_o}{V_o} = \frac{3}{1-D} \frac{120}{60} = 12A \quad (95)$$

با توجه به رابطه فوق، مقدار متوسط جریان عبوری از سلف  $L_1$  برابر ۱۲ آمپر است که با نتایج شبیه‌سازی همخوانی خوبی دارد. مشابه رابطه فوق، مقدار متوسط جریان‌های عبوری از سایر عناصر به دست می‌آیند. در شکل‌های (۱۲)-د، (۱۲)-ه، (۱۲)-و، (۱۲)-ز و (۱۲)-ج شکل موج جریان‌های عبوری از دیودهای  $D_1$ ،  $D_2$ ،  $D_3$  و  $D_4$  نشان داده شده است که با توجه به شکل‌های مفروض دیودهای  $D_3$  و  $D_5$  در مد کاری اول روشن و دیودهای  $D_1$  و  $D_2$  در مد کاری دوم روشن می‌باشند. با توجه به روابط (۲۲)-(۲۶) مقدار متوسط جریان‌های عبوری از دیودهای  $D_3$  و  $D_4$  در مد کاری دوم می‌باشد. با توجه به روابط (۱۲)-ک، (۱۲)-ل و (۱۲)-م جریان‌های عبوری از خازن‌های  $C_1$ ،  $C_2$ ،  $C_3$ ،  $C_4$  و  $C_5$  نشان داده شده است. با توجه به روابط (۱۵)، (۱۷)، (۱۸)، (۱۹) و (۲۰) مقدار متوسط جریان‌های عبوری از خازن‌های  $C_1$ ،  $C_2$ ،  $C_3$ ،  $C_4$  و  $C_5$  در مد کاری اول به ترتیب  $-۸$ ،  $-۸$ ،  $-۴$ ،  $-۲$  و  $۶$  آمپر است. مقدار متوسط جریان‌های عبوری از خازن‌های  $C_1$ ،  $C_2$ ،  $C_3$ ،  $C_4$  و  $C_5$  در مد کاری دوم به ترتیب  $۸$ ،  $۸$ ،  $۴$  و  $۶$  آمپر است که این مقادیر تایید کننده نتایج شبیه‌سازی هستند. شکل (۱۲)-ن جریان عبوری از کلید  $S$  را

نشان می‌دهد. با توجه به رابطه (۲۷)، مقدار متوسط جریان کلید  $S$  برابر  $20$  آمپر است که با نتایج حاصل از شبیه‌سازی همخوانی خوبی دارد.

شکل موج جریان عبوری از سلف  $L_1$  با چرخه کاری  $30$  درصد در مدد کاری اول در رژیم هدایت ناپیوسته در شکل (۱۲) - س نشان داده شده است. با توجه به شکل، جریان عبوری از سلف  $L_1$  در مدد کاری سوم صفر است که با نتایج حاصل از شبیه‌سازی همخوانی دارد.

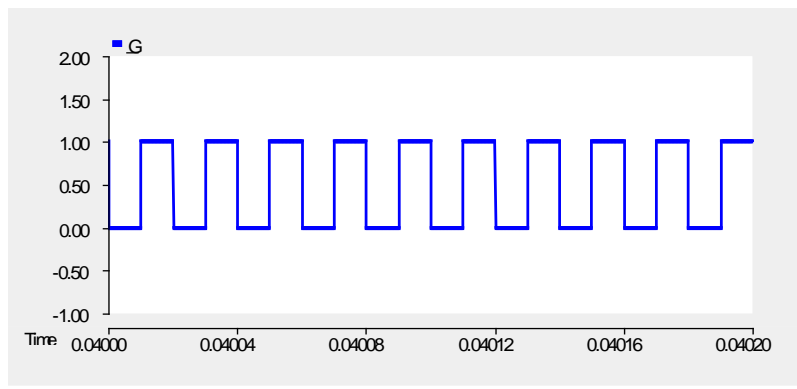
به منظور تصدیق عملکرد مبدل پیشنهادی برخی از نتایج عملی ارائه شده است. مقادیر پارامترهای عملی در جدول (۳) نشان داده شده است. ولتاژ خروجی  $10$  ولت است و توان خروجی  $45$  وات است. شکل موج جریان عبوری از سلف  $L_1$  در شکل (۱۳)-الف نشان داده شده است. با توجه به رابطه (۲۱)، ریپل جریان عبوری از سلف  $1/8$  آمپر است که صحت نتیجه عملی را نشان می‌دهد. شکل موج ولتاژ ورودی ( $V_i$ ) در شکل (۱۳)-ب نشان داده شده است که با توجه به شکل، ولتاژ ورودی  $15$  ولت است. شکل موج ولتاژ خروجی ( $V_o$ ) در شکل (۱۳)-ج نشان داده شده است. با توجه به رابطه (۱۵)، ولتاژ خروجی  $10$  ولت است که شکل موج درستی نتیجه را اثبات می‌کند. راندمان اندازه‌گیری شده به صورت عملی و نقطه به نقطه مبدل پیشنهادی در شکل (۱۴) نشان داده شده است. مطابق شکل حداقل راندمان مبدل  $92$  درصد است. در بیشترین بار، راندمان مبدل پیشنهادی  $89/5$  درصد است.

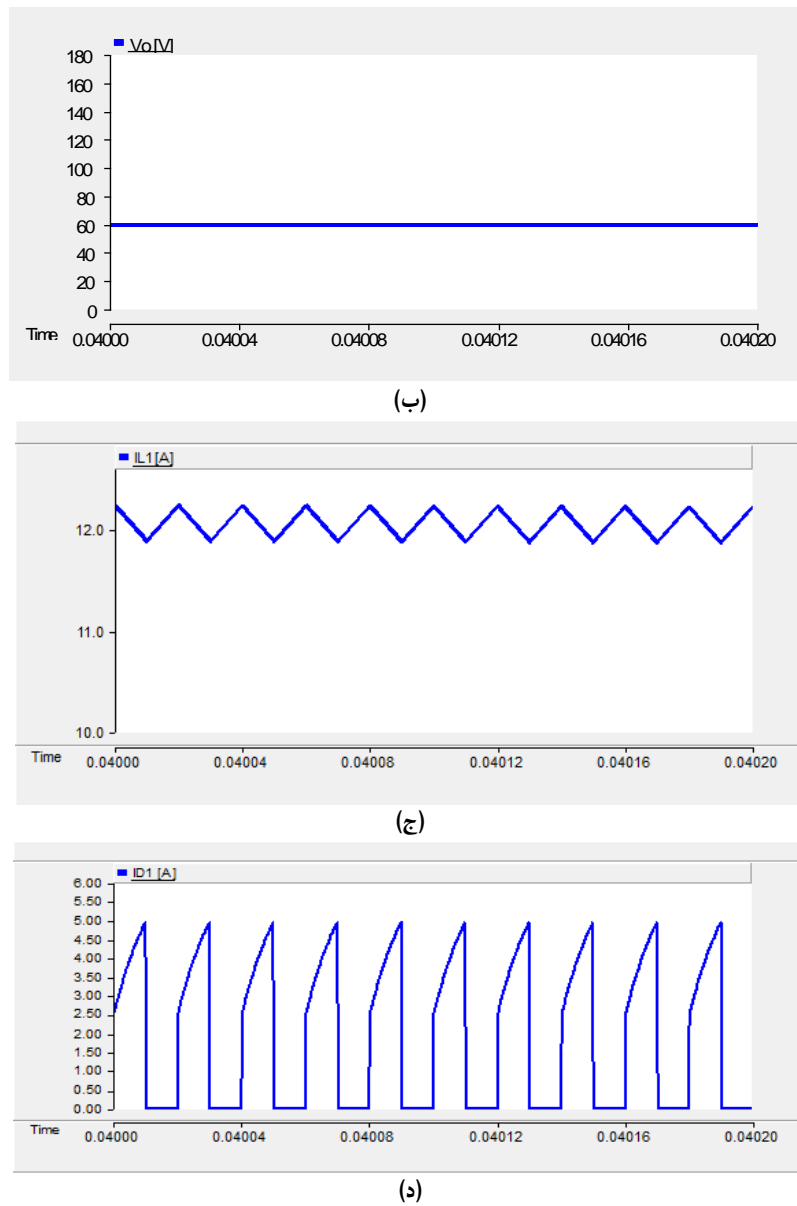
جدول (۲) مقادیر پارامترهای شبیه‌سازی مبدل پیشنهادی

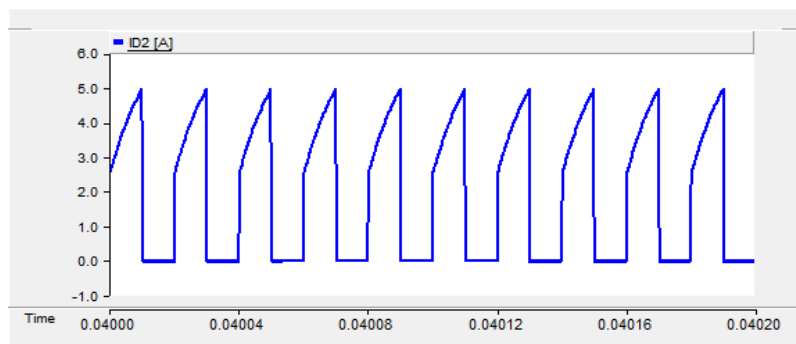
مقدار	متغیر
۵۰ کیلوهertz	فرکانس کلیدزنی
۱۰ ولت	ولتاژ منبع ورودی
۵۰ درصد	چرخه کاری
۰/۰۲ اهم	مقاومت هدایتی کلید
۱۲۰ وات	توان خروجی
۴۷۰ میکرو فاراد	خازن‌های $C_5, C_4, C_3, C_2, C_1$
۱۸ میلی اهم	مقاومت سری معادل خازن‌های $C_5, C_4, C_3, C_2, C_1$
۴۳۰ میکرو هانری	سلف $L_1$
۵۰ میلی اهم	مقاومت سری معادل سلف $L_1$
۰/۰۲ اهم	مقاومت حالت روشن دیودهای $D_5, D_4, D_3, D_2, D_1$
۰/۸ ولت	ولتاژ حالت روشن دیودهای $D_5, D_4, D_3, D_2, D_1$

جدول (۳) مقادیر پارامترهای عملی مبدل پیشنهادی

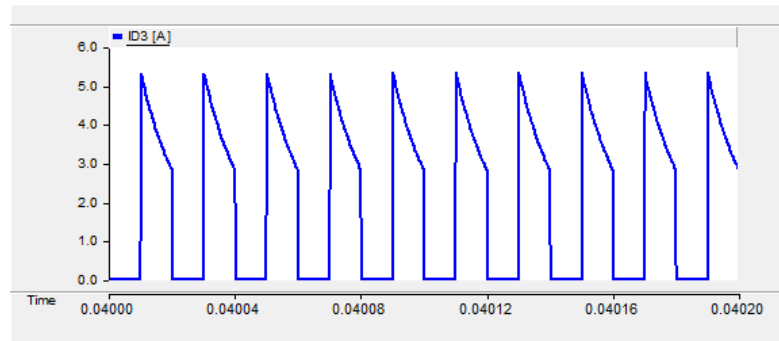
متغیر	مقدار
فرکانس کلیدزنی	۴۴ کیلوهرتز
ولتاژ منبع ورودی	۱۵ ولت
چرخه کاری	۵۹ درصد
مقاومت هدایتی کلید	۰/۰۲ آهم
خازن‌های $C_4$ ، $C_3$ ، $C_2$ ، $C_1$	۱۰۰ میکرو فاراد
مقاومت سری معادل خازن‌های $C_4$ ، $C_3$ ، $C_2$ ، $C_1$	۱۰ میلی آهم
خازن $C_5$	۴۷۰ میکرو فاراد
مقاومت سری معادل خازن $C_5$	۴۴ میلی آهم
سلف‌های $L_1$	۱۲۰ میکرو هانتری
مقاومت سری معادل سلف‌های $L_1$	۱۲ میلی آهم
مقاومت حالت روشن دیودهای $D_1$ ، $D_2$ ، $D_3$ و $D_4$	۰/۰۳ آهم
ولتاژ حالت روشن دیودهای $D_1$ ، $D_2$ ، $D_3$ و $D_4$	۰/۸ ولت



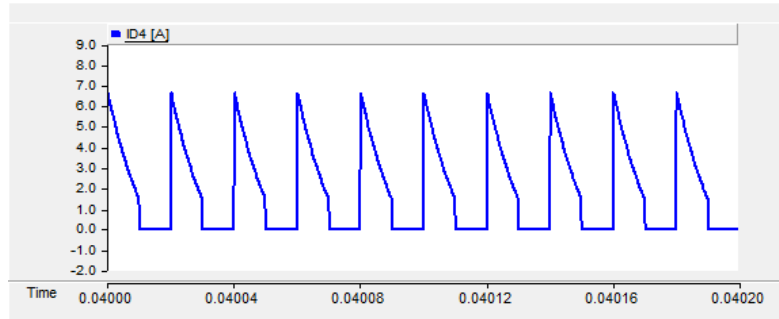




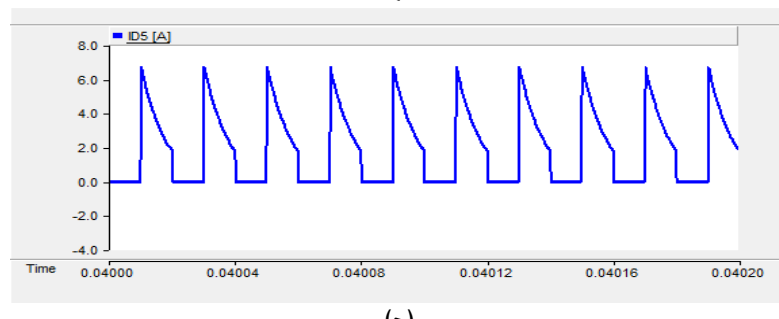
(d)



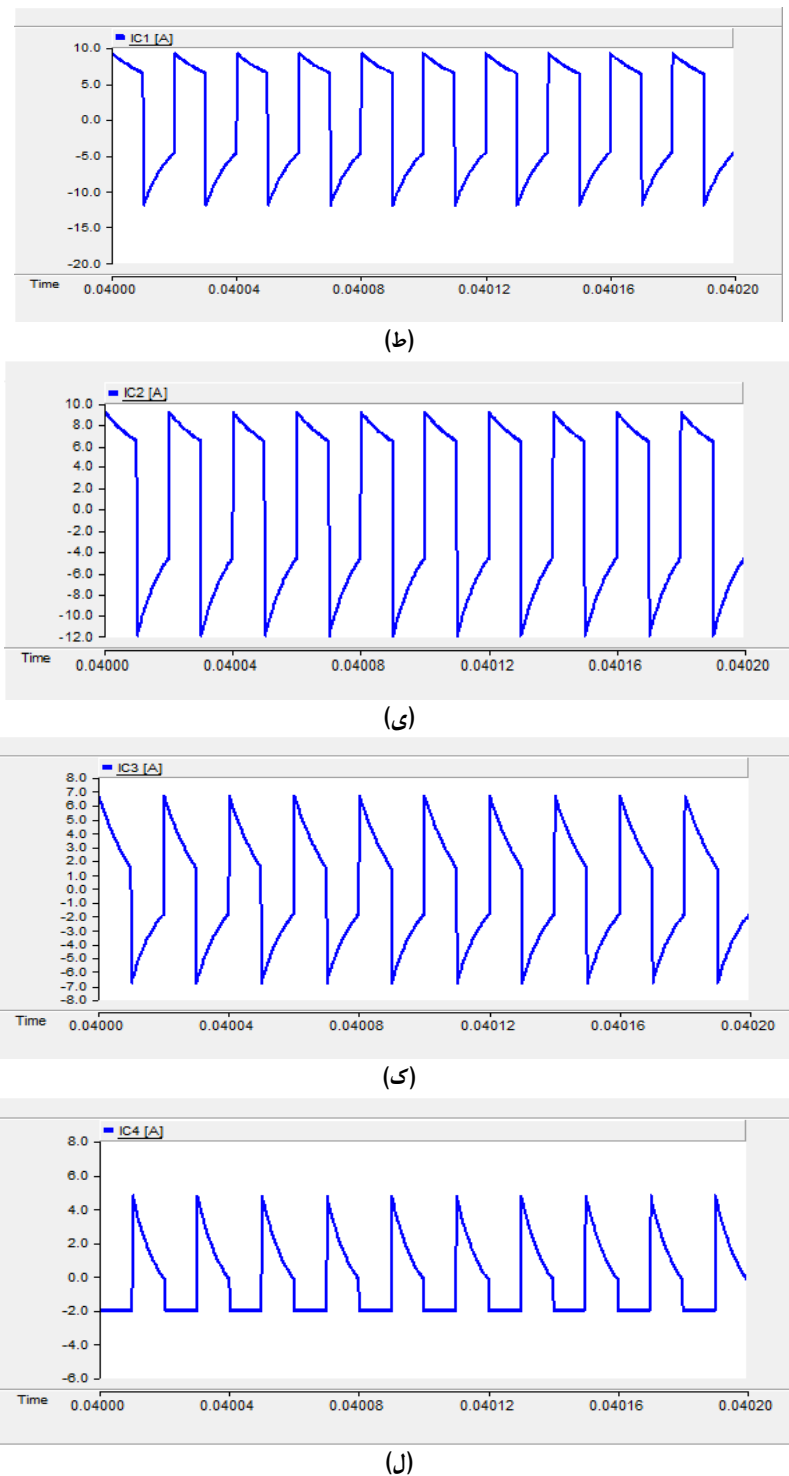
(e)

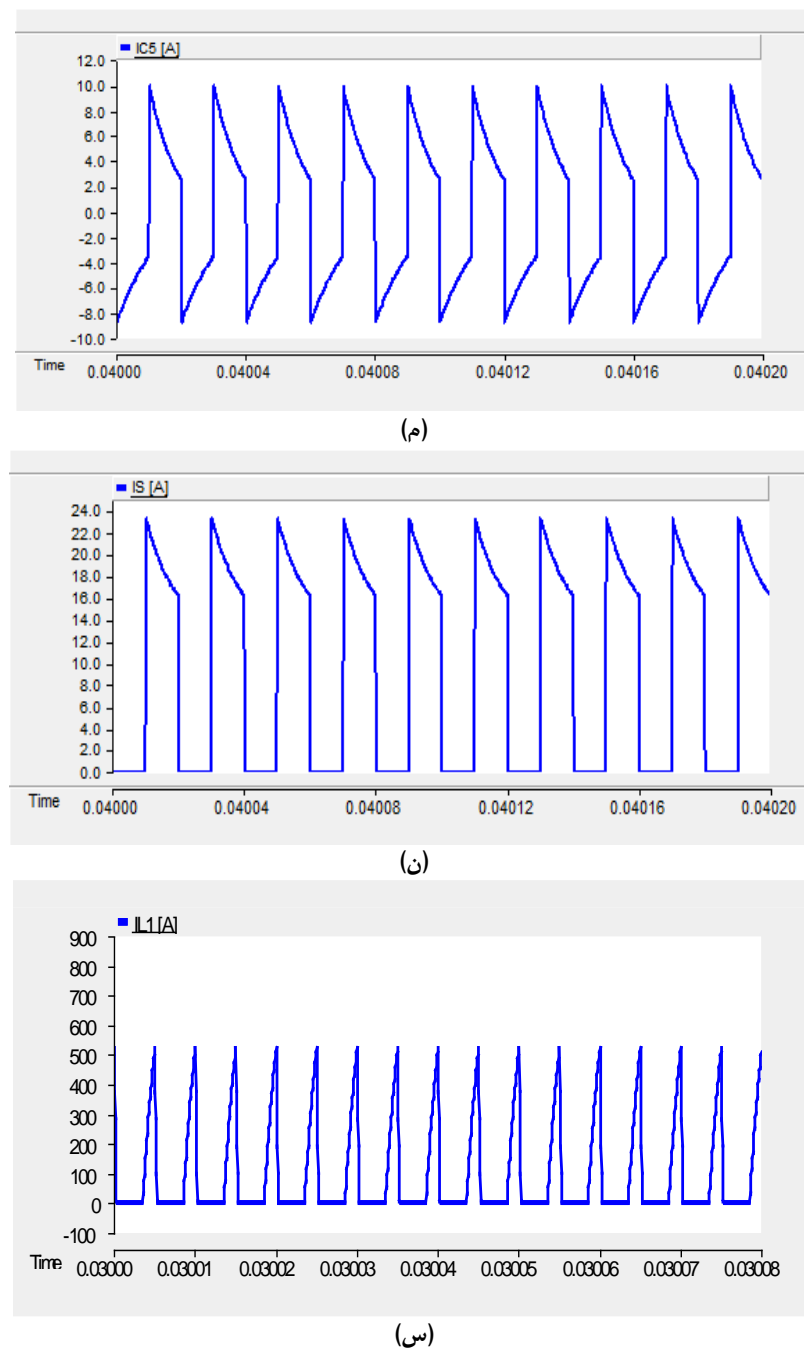


(f)

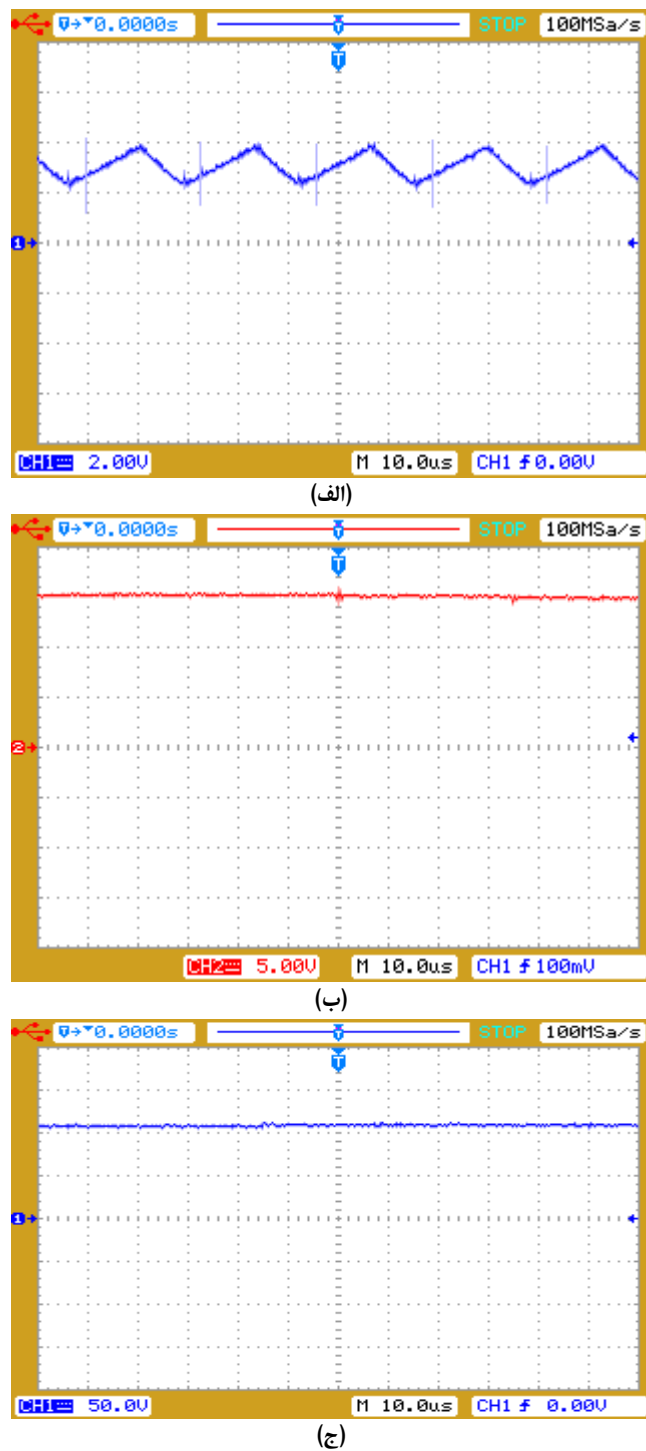


(g)

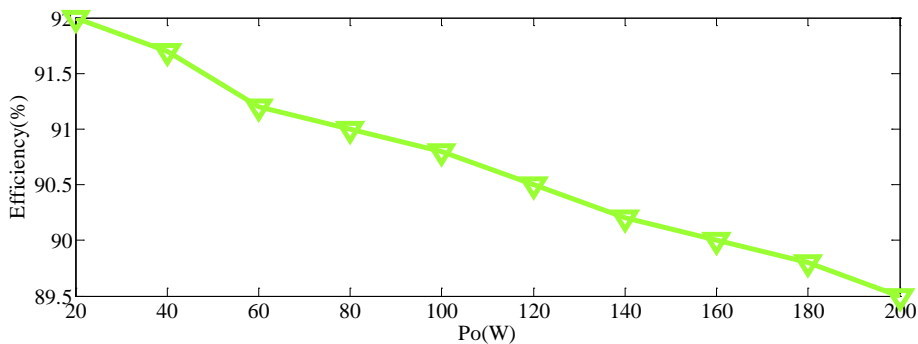




شکل ۱۲) نتایج شبیه‌سازی مدل پیشنهادی



شکل ۱۳) نتایج عملی مبدل پیشنهادی



شکل (۱۴) راندمان عملی اندازه‌گیری شده مبدل پیشنهادی

### نتیجه گیری

در این مقاله، یک مبدل بدون ترانسفورماتور با ضریب افزایندگی بالا به منظور استفاده در انرژی خورشیدی پیشنهاد داده شده است. بهره ولتاژ مبدل پیشنهادی بالاتر از مبدل افزاینده مرسوم است و در ناحیه وسیع تری نسبت به مبدل های مرسوم کار می کند. در این مبدل تنها یک کلید به کار رفته است که موجب سادگی کنترل مبدل می شود. تنش ولتاژ دو سر کلید در مبدل پیشنهادی پائین است که موجب کاهش تلفات هدایتی و افزایش بازده مبدل می شود. در این مقاله، به بررسی مبدل پیشنهادی در دو رژیم هدایت پیوسته و ناپیوسته، محاسبه بازده و جریان های عبوری از عناصر مبدل و اندازه ریپل ولتاژ خازن ها پرداخته شده است. برای نشان دادن صحت محاسبات و عملکرد صحیح مبدل پیشنهادی نتایج شبیه سازی در محیط نرم افزار PSCAD و نیز به صورت عملی آورده شده است.

### منابع

- [1] Q. Zhao and F. C. Lee, 2003, “High-ef ficiency, high step-up dc-dc converters,” *IEEE Trans. Power Electron.*, vol. 18, no. 1, pp. 65-73.
- [2] F. Zhang, L. Du, F. Z. Peng, and Z. Qian, 2008, “A new design method for high-power high-efficiency switched-capacitor dc-dc converters,” *IEEE Trans. Power Electron.*, vol. 23, no. 2, pp. 832-840.
- [3] B. R. Lin, F. Y. Hsieh, and J. J. Chen, 2008, “Analysis and implementation of a bidirectional converter with high converter ratio,” in *Proc. IEEE ICIT*, Chengdu, pp. 1–6.
- [4] L. S. Yang, T. J. Liang, and J. F. Chen, “Transformer-less dc-dc converter with high voltage gain,” *IEEE Trans. Ind. Electron.*, vol. 56, no. 8, pp. 3144-3152, Aug. 2009.

- [5] O. Abutbul, A. Gherlitz, Y. Berkovich, and A. Ioinovici, "Step-up switching-mode converter with high voltage gain using a switched capacitor circuit," *IEEE Trans. Circuits Syst. I*, vol. 50, no. 8, pp. 1098-1102, Aug. 2003.
- [6] S. K. Changchien, T. J. Liang, J. F. Chen, and L. S. Yang, "Novel high step-up DC-DC converter for fuel cell energy conversion system," *IEEE Trans. Ind. Electron.*, vol. 57, no. 6, pp. 2007-2017, Jun. 2010.
- [7] K. C. Tseng and T. J. Liang, "Analysis of integrated boost-flyback step-up converter," *IEE Proc. Inst. Elect. Eng.-Electric Power Appl.*, vol. 152, no. 2, pp. 217-225, Mar. 2005.
- [8] T. F. Wu, Y. S. Lai, J. C. Hung, and Y. M. Chen, "Boost converter with coupled inductors and buck-boost type of active clamp," *IEEE Trans. Ind. Electron.*, vol. 55, no. 1, pp. 154-162, Jan. 2008.
- [9] B. Axelrod, Y. Berkovich, and A. Ioinovici, "Switched coupled-inductor cell for DC-DC converters with very large conversion ratio," in *Proc. IEEE Industrial Electronics Soc. Conf.*, pp. 2366-2371, Nov. 2006.
- [10] Q. Zhao and F. C. Lee, "High-efficiency, high step-up dc-dc converters," *IEEE Trans. Power Electron.*, vol. 18, no. 1, pp. 65-73, Jan. 2003.
- [11] F. L. Luo, "Six self-lift DC-DC converters, voltage lift technique," *IEEE Trans. Ind. Electron.*, vol. 48, no. 6, pp. 1268-1272, Dec. 2001.
- [12] F. L. Luo and H. Ye, "Positive output super-lift converters," *IEEE Trans. Power Electron.*, vol. 18, no. 1, pp. 105-113, Jan. 2003.
- [13] K.C. Tseng and T.J. Liang, "Novel high-efficiency step-up converter," *IEE Proc.-Electr. Power Appl.*, vol. 151, pp. 182-190, March. 2004.
- [14] Kwon J. M., Kwon B. H, "High Step-Up Active-Clamp Converter With Input-Current Doubler and Output-Voltage Doubler for Fuel Cell Power Systems," *IEEE Trans. Power Electron.*, vol. 24, pp. 108-115, Jan. 2009.
- [15] T. J. Liang, J. H. Lee, S. M. Chen, J. F. Chen, and L. S. Yang, "Novel Isolated High-Step-Up DC-DC Converter With Voltage Lift," *IEEE Trans. Ind. Electron.*, vol. 60, no. 4, pp. 1483-1491, Apr. 2013.
- [16] B. Gu, J. Dominic, J.-S. Lai, Z. Zhao, and C. Liu, "High boost ratio hybrid transformer dc-dc converter for photovoltaic module applications," *IEEE Trans. Power Electron.*, vol. 28, no. 4, pp. 2048-2058, Apr. 2013.
- [17] X. Hu and C. Gong, 2015, "A High Gain Input-Parallel Output-Series DC/DC Converter with Dual Coupled-Inductors," *IEEE Trans. Power Electron.*, vol. 30, no. 3, pp. 1306-1317.
- [18] K. I. Hwu and W.Z. Jiang, 2014, "Isolated step-up converter based on flyback converter and charge pumps," *IET Power Electron.*, vol. 7, no. 9, pp. 2250-2257.
- [19] Y. P. Hsieh, J. F. Chen, and T. J. Liang, 2013, "Novel high step-up dc-dc converter for distributed generation system," *IEEE Trans. Ind. Electron.*, vol. 60, no. 4, pp. 1473-1482.
- [20] Y. P. Hsieh, J. F. Chen, L. S. Yang, C. Y. Wu and W. S. Liu, 2014, "High-Conversion-Ratio

- Bidirectional DC–DC Converter With Coupled Inductor,” *IEEE Trans. Ind. Electron.*, vol. 61, no. 1, pp. 210-222.
- [21] R. J. Wai, and K. H. Jheng, 2013, “High-Efficiency Single-Input Multiple-Output DC–DC Converter,” *IEEE Trans. Power Electron.*, vol. 28, no. 2, pp. 886-898.
- [22] K.-C. Tseng, J.-T. Lin, and C.-C. Huang, 2015, “High step-up converter with three-winding coupled inductor for fuel cell energy source applications,” *IEEE Trans. Power Electron.*, vol. 30 , no. 3, pp. 574–581.
- [23] L. J. Chien, C. C. Chen, J. F. Chen, Y. P. Hsieh, 2014, “Novel Three-Port Converter With High-Voltage Gain,” *IEEE Trans. Power Electron.*, vol. 29, no. 9, pp. 4693–4703.